

Противофазные ультракороткие солитоны в многосердцевинных волокнах

А.А. Балакин, С.А. Скобелев, А.В. Андрианов, Е.А. Анашкина, А.Г. Литвак

Институт прикладной физики РАН

Сессия по нелинейной динамике, 2021

Квазимонохроматический предел

Исходный Лагранжиан

$$\mathcal{L} = \iint \left[\frac{U^* \partial_z U - U \partial_z U^*}{2i} - \epsilon |U|^2 - \frac{1}{2} |U|^4 \right] dz d\mathbf{x}.$$

Для волнового пучка $U = \sum u_n f(\mathbf{x} - \mathbf{x}_n)$, мы получаем

$$\mathcal{L} \approx \sum \int \left[\frac{u_n^* \partial_z u_n - u_n \partial_z u_n^*}{2i} - u_{n+1} u_n^* - u_{n+1}^* u_n - \frac{1}{2} |u_n|^4 \right] dz.$$

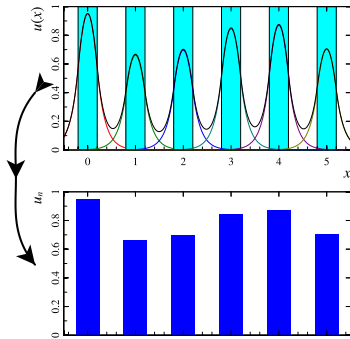
Уравнения для амплитуд полей в сердцевинах

$$i \partial_z u_n = u_{n+1} + u_{n-1} + |u_n|^2 u_n.$$

Интеграл задачи

$$P = \sum |u_n|^2 = \text{const.}$$

ВОПРОС: как обобщить на случай предельно коротких импульсов?



Предельно короткие импульсы

Стартуем с волнового уравнения

$$\frac{\partial^2 \mathcal{E}}{\partial z^2} + \Delta_{\perp} \mathcal{E} - \frac{1}{c^2} \frac{\partial^2}{\partial t^2} \int_{-\infty}^t \varepsilon(x, y, \omega) \mathcal{E}(t') e^{i\omega(t-t')} d\omega dt' = \frac{4\pi}{c^2} \frac{\partial^2 \mathcal{P}_{nl}}{\partial t^2}.$$

В линейном пределе, вдали от резонансов можно положить

$$\varepsilon(x, y, \omega) \approx \varepsilon_0(x, y) - \frac{\omega_D^2(x, y)}{\omega^2} + b(x, y)\omega^2.$$

Волновое уравнение принимает вид

$$\frac{\partial^2 \mathcal{E}}{\partial z^2} + \Delta_{\perp} \mathcal{E} - \frac{\varepsilon_0(x, y)}{c^2} \frac{\partial^2 \mathcal{E}}{\partial t^2} - \frac{\omega_D^2(x, y)}{c^2} \mathcal{E} + \frac{b(x, y)}{c^2} \frac{\partial^4 \mathcal{E}}{\partial t^4} = 0,$$

а его действие равно

$$S = \iiint \left[\frac{\varepsilon_0(x, y)}{c^2} \left| \frac{\partial \mathcal{E}}{\partial t} \right|^2 - \frac{\omega_D^2(x, y)}{c^2} |\mathcal{E}|^2 + \frac{b(x, y)}{c^2} \left| \frac{\partial^2 \mathcal{E}}{\partial t^2} \right|^2 - \left| \frac{\partial \mathcal{E}}{\partial z} \right|^2 - |\nabla_{\perp} \mathcal{E}|^2 \right] dx dy dz dt.$$

Вариационное приближение

Если каждая сердцевина одномодовая, то решение удобно искать в виде

$$\mathcal{E}(z, t, x, y) \approx \sum_n \mathcal{A}_n(z, t) \phi(\mathbf{r}_\perp - \mathbf{r}_n) \quad \text{при} \quad \zeta = \frac{\iint \phi \phi_+ dx dy}{\iint \phi^2 dx dy} \ll 1.$$

Укороченное действие принимает вид ($\phi = \phi(\mathbf{r})$, $\phi_+ = \phi(\mathbf{r} + \mathbf{L})$)

$$\begin{aligned}
 S = & \sum_n \iint \left[\left| \frac{\partial \mathcal{A}_n}{\partial t} \right|^2 \underbrace{\iint \frac{\varepsilon_0(x, y)}{c^2} \phi^2 dx dy}_{\beta} + \left(\frac{\partial \mathcal{A}_n^*}{\partial t} \frac{\partial \mathcal{A}_{n+1}}{\partial t} + c.c. \right) \underbrace{\iint \frac{\varepsilon_0(x, y)}{c^2} \phi \phi_+ dx dy}_{\beta_1} - \right. \\
 & - |\mathcal{A}_n|^2 \underbrace{\iint \left(\frac{\omega_D^2(x, y)}{c^2} \phi^2 + (\nabla_\perp \phi)^2 \right) dx dy}_{\sigma} - (\mathcal{A}_n^* \mathcal{A}_{n+1} + c.c.) \underbrace{\iint \left(\frac{\omega_D^2(x, y)}{c^2} \phi \phi_+ + \nabla_\perp \phi \nabla_\perp \phi_+ \right) dx dy}_{-X} \\
 & + \left| \frac{\partial^2 \mathcal{A}_n}{\partial t^2} \right|^2 \underbrace{\iint \frac{b(x, y)}{c^2} \phi^2 dx dy}_{\gamma} + \left(\frac{\partial^2 \mathcal{A}_n^*}{\partial t^2} \frac{\partial^2 \mathcal{A}_{n+1}}{\partial t^2} + c.c. \right) \underbrace{\iint \frac{b(x, y)}{c^2} \phi \phi_+ dx dy}_{\gamma_1} - \\
 & \left. - \left| \frac{\partial \mathcal{A}_n}{\partial z} \right|^2 \underbrace{\iint \phi^2 dx dy}_{\alpha} - \left(\frac{\partial \mathcal{A}_n^*}{\partial z} \frac{\partial \mathcal{A}_{n+1}}{\partial z} + c.c. \right) \underbrace{\iint \phi \phi_+ dx dy}_{\alpha_1} \right] dt dz.
 \end{aligned}$$

Укороченное уравнение

В существующих МСФ обычно $\alpha_1 \approx \zeta\alpha$, $\beta_1 \approx \zeta\beta$, $\gamma_1 \approx \zeta\gamma$.

После варьирования получаем укороченное уравнение

$$\left(\beta \frac{\partial^2}{\partial t^2} - \alpha \frac{\partial^2}{\partial z^2} - \gamma \frac{\partial^4}{\partial t^4} \right) \left[\mathcal{A}_n + \zeta \mathcal{A}_{n-1} + \zeta \mathcal{A}_{n+1} \right] + \sigma \mathcal{A}_n - X(\mathcal{A}_{n-1} + \mathcal{A}_{n+1}) = 0.$$

В сопровождающей системе координат $\tau = t \mp z/V$, $V = \sqrt{\alpha/\beta}$ получаем

$$\frac{\partial^2 \mathcal{A}_n}{\partial t^2} - \frac{\alpha}{\beta} \frac{\partial^2 \mathcal{A}_n}{\partial z^2} = \left[\frac{\partial}{\partial t} - V \frac{\partial}{\partial z} \right] \left[\frac{\partial}{\partial t} + V \frac{\partial}{\partial z} \right] \mathcal{A}_n \approx \pm 2V \frac{\partial^2 \mathcal{A}_n}{\partial z \partial \tau}, \quad \left| \frac{\partial \mathcal{A}_n}{\partial z} \right| \ll \frac{1}{V} \left| \frac{\partial \mathcal{A}_n}{\partial \tau} \right|.$$

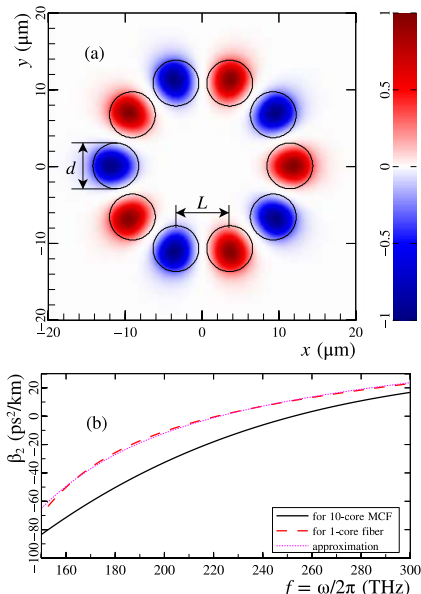
Вводя $u_n = \mathcal{A}_n + \zeta \mathcal{A}_{n+1} + \zeta \mathcal{A}_{n-1}$ приходим к укороченному уравнению

$$2\sqrt{\alpha\beta} \frac{\partial^2 u_n}{\partial z \partial \tau} + \sigma u_n - (X + \sigma\zeta)(u_{n+1} + u_{n-1}) - \gamma \frac{\partial^4 u_n}{\partial \tau^4} = 0.$$

Дисперсионные зависимости

Прямой расчет дисперсионной кривой противофазной моды $u_n \propto (-1)^n$ показал хорошее согласие с аналитическими формулами.

На рисунке распределение поля \mathcal{E}_x для МСФ с расположенными по кольцу сердцевинами диаметра $d = 6$ мкм и расстоянием $L = 7$ мкм. Найденные дисперсионные зависимости и аппроксимация для одной сердцевины и 10 сердцевины.



Укороченное уравнение

В численном моделировании рассматривался нелинейный отклик среды

$$\mathcal{P}_{\text{nl}, n} = n_2(1 - f_R)|\mathcal{A}_n|^2 \mathcal{A}_n + n_2 f_R \mathcal{A}_n \int_0^{\infty} |\mathcal{A}_n(\tau - \tau')|^2 h_R(\tau') d\tau',$$

включающий нестационарность нелинейности, описываемую функцией

$$h_R(\tau) = \frac{\tau_1^2 + \tau_2^2}{\tau_1 \tau_2^2} \exp(-\tau/\tau_2) \sin(\tau/\tau_1).$$

Поскольку нелинейность имеет порядок остальных членов, то вклад нелинейного отклика соседних сердцевин мал и можно получить

$$\begin{aligned} \frac{\partial^2 u_n}{\partial z \partial \tau} + u_n - \chi(u_{n-1} + u_{n+1}) - \mu \frac{\partial^4 u_n}{\partial \tau^4} + \\ + \frac{\partial^2}{\partial \tau^2} \left[(1 - f_R)|u_n|^2 u_n + f_R u_n \int_0^{\infty} |u_n(\tau - \tau')|^2 h_R(\tau') d\tau' \right] = 0. \end{aligned}$$

Предельно короткие солитоны

Будем искать противофазное решение $u_n(z, \tau) = (-1)^n u_{\pm}(z, \tau)$ в пренебрежении высокочастотной дисперсией ($\mu = 0$) и нестационарностью ($f_R = 0$). Тогда уравнение принимает вид

$$\frac{\partial^2 u_{\pm}}{\partial z \partial \tau} + (1 + 2\chi)u_{\pm} + \frac{\partial^2}{\partial \tau^2} (|u_{\pm}|^2 u_{\pm}) = 0,$$

сохраняющий ряд интегралов

$$W_{\pm} = \int_{-\infty}^{+\infty} |u_{\pm}|^2 d\tau, \quad H_{\pm} = \int_{-\infty}^{+\infty} \left[\frac{1}{2} |u_{\pm}|^4 - (1 + 2\chi) \left| \int_{-\infty}^{\tau} u_{\pm} d\eta \right|^2 \right] d\tau, \quad \dots$$

и имеющий солитонное решение

$$u_{\pm}(z, \tau) = \sqrt{v_s} G(\xi) \exp[i\omega_s(\tau + v_s z) + i\varphi(\xi)],$$

$$\frac{d\varphi}{d\xi} = \frac{G^2(3 - 2G^2)}{2(1 - G^2)^2}, \quad \int_{G_m}^G \frac{1 - 3G^2}{G\sqrt{\delta^2 - F(G^2)}} dG = \pm(\xi - \xi_0), \quad \delta^2 = \frac{1 + 2\chi}{\omega_s^2 v_s} - 1 \leq \frac{1}{8},$$

$$F(G^2) = G^2 [3/2(1 + \delta^2) - (4 - 5G^2)/4(1 - G^2)^2].$$

Устойчивость солитонов

Численное моделирование показало неустойчивость

при малых χ :

(a) $\delta = 0.05$,

$\chi = 0.002$,

(b) $\delta = 0.3$,

$\chi = 0.2$,

(c) $\delta = 0.05$,

$\chi = 0.008$,

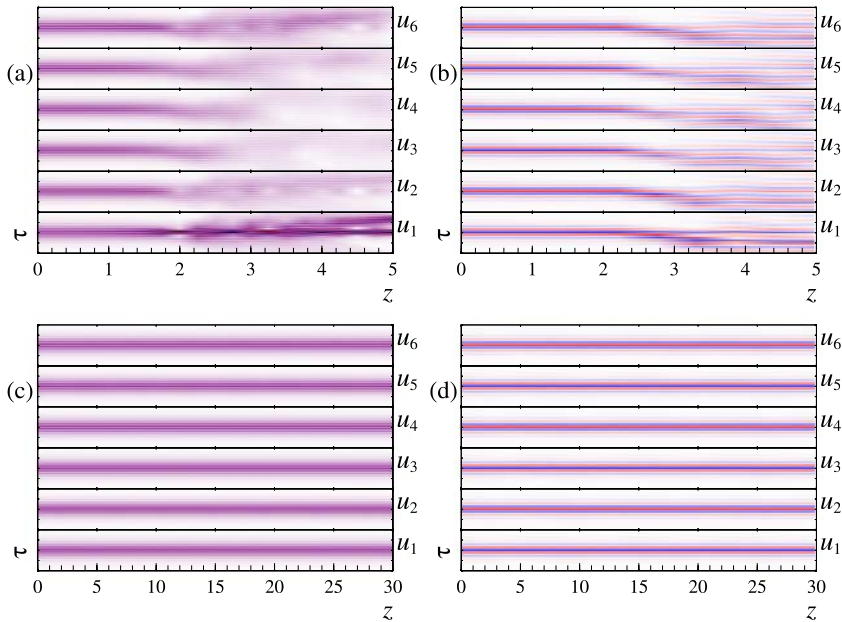
(d) $\delta = 0.3$,

$\chi = 0.3$.

Начальный

уровень шума

is 10^{-2} .



Устойчивость солитонов

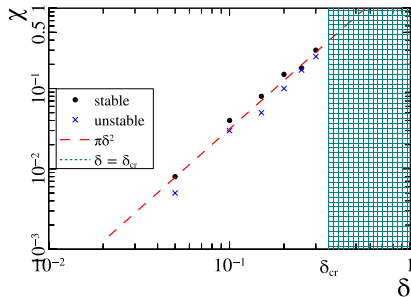
Причина в зависимости скорости солитонов $v_s \propto \delta^2$ от их амплитуды:

$$u_n^{\text{sol}} \approx \frac{(-1)^n}{\omega_s \sqrt{1 + \delta^2}} \frac{2\delta \sqrt{1 + 2\chi} e^{i\theta}}{\sqrt{1 + \sqrt{1 + 12\delta^2} \cosh(2\delta\xi)}} + O(\delta^6),$$

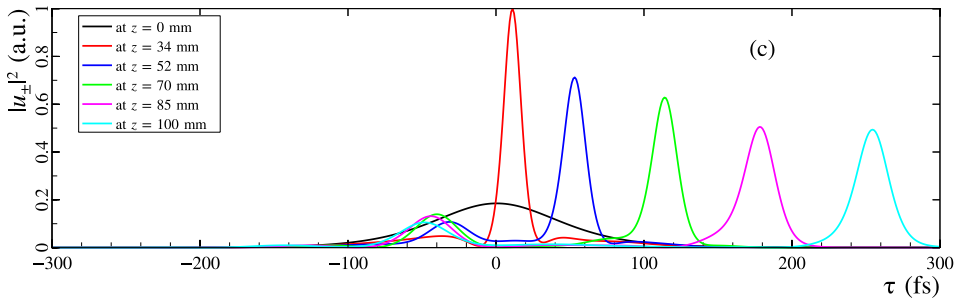
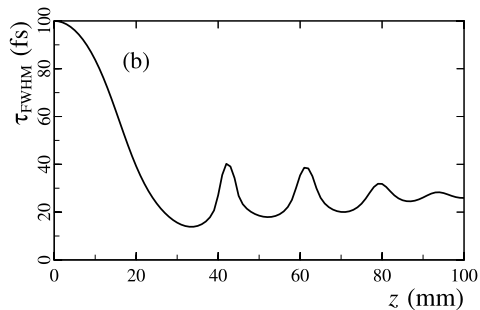
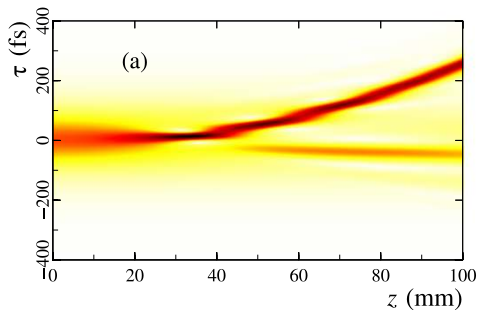
$$\theta = \xi + \frac{2\omega_s z}{v_s} + \frac{3}{2} \int |u_n^{\text{sol}}|^2 d\xi + \varphi_0, \quad v_s = \frac{\omega_s^2 (1 + \delta^2)}{1 + 2\chi}.$$

Если длина связи $2\pi/\chi$ будет больше дисперсионной длины $2\omega_s/\delta^2$, то солитоны могут «разбежаться». Это дает условие устойчивости

$$\chi > \chi_{\text{cr}} \equiv \frac{\pi\delta^2}{\omega_s}.$$



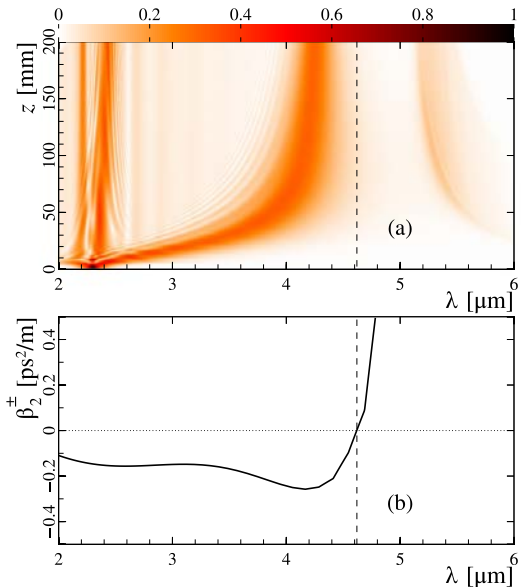
Компрессия при мультисолитонной динамике



Получение ИК импульсов (до 4-5 мкм)

Эволюция спектральной амплитуды противофазного лазерного импульса. Начальный импульс с энергией 1.5 нДж и длительностью 100 фс на длине волны 2.3 мкм.

Зависимость дисперсии групповой скорости от длины волны для 10-ядерного MCF с диаметром сердцевин $d = 2.1$ мкм и расстоянием между центрами $L = 4.2$ мкм.



Выводы

Получено уравнение для анализа самовоздействия волнового поля с произвольным числом колебаний поля в многосердцевидных волокнах (МСФ). Найден и проанализирован новый класс устойчивых противofазных пространственно-временных солитонных структур с малым числом колебаний поля в МСФ, в котором ядра расположены по кольцу. Определена граница устойчивости полученных решений. В качестве примера использования таких солитонов была рассмотрена задача их самокомпрессии в процессе многосолитонной динамики для эффективного укорочения лазерных импульсов до длительности в несколько колебаний поля в МСФ. Численно показано формирование лазерных импульсов с длительностью несколько периодов с энергией в десятки наноджоулей на выходе десяти-ядерного МСФ.

Публикации:

1. A.A. Balakin, S.A. Skobelev, A.V. Andrianov, E.A. Anashkina, A.G. Litvak, *Out-of-phase few-cycle solitons in multicore fibers*. PRA **104**, 023522 (2021).
2. A.A. Balakin, S.A. Skobelev, E.A. Anashkina, A.V. Andrianov, A.G. Litvak, *Ultrawide shifting of the laser pulse wavelength in a multicore tellurite fiber with two zero-dispersion wavelengths* PRA **104**, 033518 (2021).